

何昊天10月、11月工作汇报

论文题目：求解二次规划问题的基于LVI的原-对偶神经网络FPGA设计和实现

论文作者：袁银娟

论文链接：http://www.wanfangdata.com.cn/details/detail.do?_type=degree&id=Y1085686

基于LVI (Linear Variational Inequalities) 的原-对偶神经网络 (Primal-Dual Neural Network, PDNN) 可以用来求解线性规划和同时含有等式约束、不等式约束和界限约束 (激活函数fuction分段线性) 的二次规划问题。PDNN实质上是一类RNN (Recurrent Neural Network) , 并对PDNN网络在纯FPGA上的实现做出贡献。

一、网络设计

二次规划问题的标准形式为：(W为半正定型)

$$\begin{aligned} & \text{minimize} && x^T W x / 2 + q^T x; \\ & \text{subject to} && Jx = d, Ax \leq b, \varepsilon^- \leq x \leq \varepsilon^+ \end{aligned} \quad (1)$$

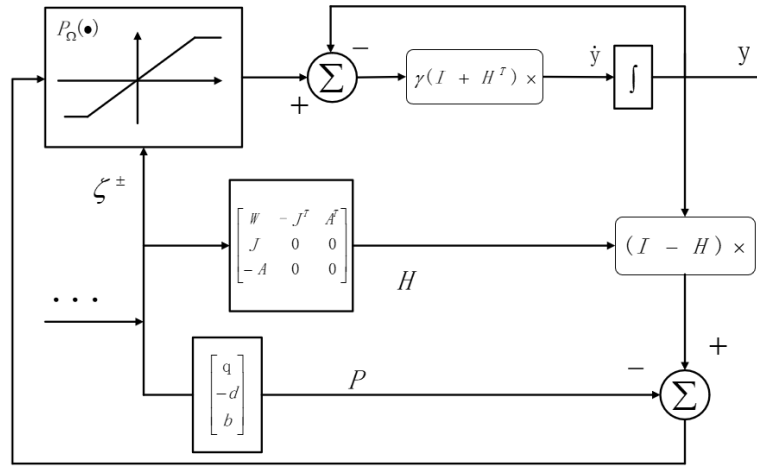
经原文推导，一般二次规划问题可以转化为基于LVI的 原-对偶神经网络动态方程：

$$\dot{y} = \gamma(1 + H^T) \{P_\Omega(y - (Hy + p)) - y\} \quad (2)$$

其中：

$$H = \begin{bmatrix} W & -J^T & A^T \\ J & 0 & 0 \\ -A & 0 & 0 \end{bmatrix}, \quad p = \begin{bmatrix} q \\ -d \\ b \end{bmatrix} \quad (3)$$

故可设计PDNN框图：



维数越高，硬件实现越复杂，FPGA上存储资源十分有限。这也是神经网络在纯FPGA上实现的难点与障碍。本文研究简单的二维情况，故做以下赋值定义：

$$\begin{aligned} W &= \begin{bmatrix} \omega_{11} & \omega_{12} \\ \omega_{21} & \omega_{22} \end{bmatrix}, & q &= [q_1 \quad q_2], & j &= [j_1 \quad j_2], & d &= d, \\ a &= [a_1 \quad a_2], & b &= b, & \varepsilon^- &= \begin{bmatrix} \varepsilon_1^- \\ \varepsilon_2^- \end{bmatrix}, & \varepsilon^+ &= \begin{bmatrix} \varepsilon_1^+ \\ \varepsilon_2^+ \end{bmatrix} \end{aligned} \quad (4)$$

结合前面的式子可得：

$$\begin{bmatrix} \dot{x}_1 \\ \dot{x}_2 \\ \dot{u} \\ \dot{v} \end{bmatrix} = \gamma \begin{bmatrix} 1 + \omega_{11} & \omega_{21} & j_1 & -a_1 \\ \omega_{12} & 1 + \omega_{22} & j_2 & -a_2 \\ -j_1 & -j_2 & 1 & 0 \\ a_1 & a_2 & 0 & 1 \end{bmatrix} \left\{ P_\Omega \left(\begin{bmatrix} 1 - \omega_{11} & -\omega_{12} & j_1 & -a_1 \\ -\omega_{12} & 1 - \omega_{22} & j_2 & -a_2 \\ -j_1 & -j_2 & 1 & 0 \\ a_1 & a_2 & 0 & 1 \end{bmatrix} \begin{bmatrix} x_1 \\ x_2 \\ u \\ v \end{bmatrix} - \begin{bmatrix} q_1 \\ q_2 \\ -d \\ b \end{bmatrix} \right) - \begin{bmatrix} x_1 \\ x_2 \\ u \\ v \end{bmatrix} \right\} \quad (5)$$

化为代数式为：

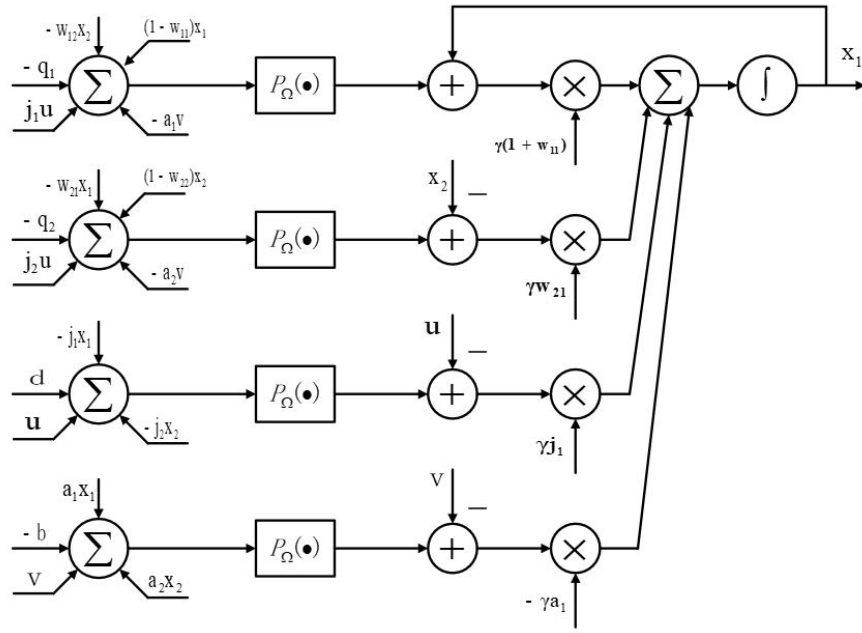
$$\begin{aligned}
\dot{x}_1 = & \gamma(w_{11} + 1) \{P_{\Omega}[(1 - w_{11})x_1 + (-w_{12})x_2 + j_1 u + (-a_1)v - q_1] - x_1\} \\
& + \gamma w_{21} \{P_{\Omega}[(-w_{21})x_1 + (1 - w_{22})x_2 + j_2 u + (-a_2)v - q_2] - x_2\} \\
& + \gamma j_1 \{P_{\Omega}[(-j_1)x_1 + (-j_2)x_2 + u + d] - u\} \\
& + (-\gamma a_1) \{P_{\Omega}[a_1 x_1 + a_2 x_2 + v - b] - v\}
\end{aligned} \quad (6-1)$$

$$\begin{aligned}
\dot{x}_2 = & \gamma w_{12} \{P_{\Omega}[(1 - w_{11})x_1 + (-w_{012})x_2 + j_1 u + (-a_1)v - q_1] - x_1\} \\
& + \gamma(1 + w_{022}) \{P_{\Omega}[(-w_{021})x_1 + (1 - w_{022})x_2 + j_2 u + (-a_2)v - q_2] - x_2\} \\
& + \gamma j_2 \{P_{\Omega}[(-j_1)x_1 + (-j_2)x_2 + u + d] - u\} \\
& + (-\gamma a_2) \{P_{\Omega}[a_1 x_1 + a_2 x_2 + v - b] - v\}
\end{aligned} \quad (6-2)$$

$$\begin{aligned}
\dot{u} = & \gamma(-j_1) \{P_{\Omega}[(1 - w_{11})x_1 + (-w_{012})x_2 + j_1 u + (-a_1)v - q_1] - x_1\} \\
& + \gamma(-j_2) \{P_{\Omega}[(-w_{21})x_1 + (1 - w_{22})x_2 + j_2 u + (-a_2)v - q_2] - x_2\} \\
& + \gamma \{P_{\Omega}[(-j_1)x_1 + (-j_2)x_2 + u + d] - u\}
\end{aligned} \quad (6-3)$$

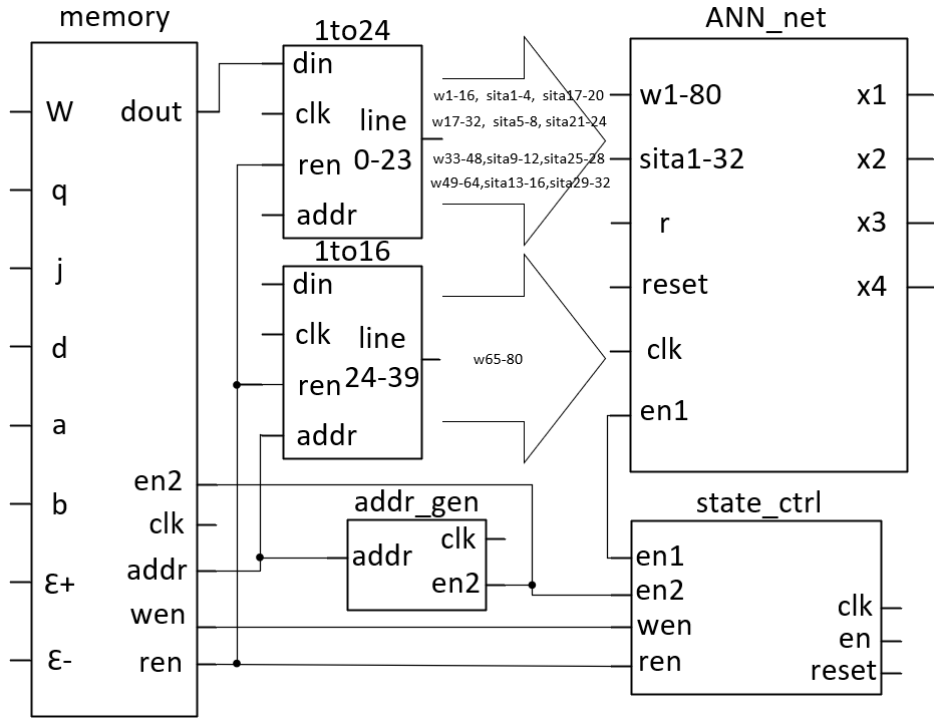
$$\begin{aligned}
\dot{v} = & \gamma a_1 \{P_{\Omega}[(1 - w_{11})x_1 + (-w_{12})x_2 + j_1 u + (-a_1)v - q_1] - x_1\} \\
& + \gamma a_2 \{P_{\Omega}[(-w_{21})x_1 + (1 - w_{22})x_2 + j_2 u + (-a_2)v - q_2] - x_2\} \\
& + \gamma \{P_{\Omega}[a_1 x_1 + a_2 x_2 + v - b] - v\}
\end{aligned} \quad (6-4)$$

根据代数式 (6-1) 可设计 x_1 的模块框图:



同理由代数式 (6-2~4) 可设计 x_2 、 u 、 v 等模块框图。

针对上述研讨, 设计如下PDNN的top模块:



参数由存储模块（memory）左侧的输入端口输入，网络模块（ANN_net）的 γ 口输入。

状态控制模块（state_ctrl）控制整个网络的时序逻辑，其clk为公共的，en仅控制该模块的使能情况，其输出en1为网络模块（ANN_net）使能输入，en2为地址模块（addr_gen）以及memory模块的使能输入。

下面叙述整个网络的工作流程：【state_ctrl=（en1,en2,wen,ren）】

a.初始状态：（en1,en2,wen,ren）=（1,1,1,1）

state_ctrl模块停止工作，网络停止工作。

b.写状态：（en1,en2,wen,ren）=（1,0,0,1）

memory模块写操作使能，计算40个基础参数。

c.读状态：（en1,en2,wen,ren）=（1,0,1,0）

memory模块读操作使能，并按addr_gen模块生成的地址码依次写入分配模块（1to24、1to16）使能，将40个基础参数写入ANN_net中。

d.计算状态：（en1,en2,wen,ren）=（0,1,1,1）

ANN计算并输出 x_1 、 x_2 、 x_3 、 x_4 即为 x_1 、 x_2 、 u 、 v 。

二、参数计算并验证

输入参数后的ANN_net是网络的计算部分，其内部多次反馈 x_{1-4} 的输出，并经过一系列调用加减乘以及激活函数等模块（note_adder、note_acc、note_sub、mult_32x32、fuction1、fuction2、fuction3），并输入到积分模块（Integrator）进而得到网络计算的最终结果，下面是基于ANN_net内部细节的计算表达式：（其中 $h=\gamma$ ，为设计参数）

$$\begin{aligned} & \{(f_1[x_1 w_1 + x_2 w_2 + u w_3 + v w_4 - sita1, sita17, sita18] - x_1) * w_{65} \\ & + (f_1[x_1 w_5 + x_2 w_6 + u w_7 + v w_8 - sita2, sita19, sita20] - x_2) * w_{66} \\ & + (f_2[x_1 w_9 + x_2 w_{10} + u w_{11} + v w_{12} - sita3] - u) * w_{67} \\ & + (f_3[x_1 w_{13} + x_2 w_{14} + u w_{15} + v w_{16} - sita4,] - v) * w_{68}\} \\ & \cdot h \stackrel{\int}{=} x_1 \end{aligned} \quad (7-1)$$

$$\begin{aligned} & \{(f_1[x_1 w_{17} + x_2 w_{18} + u w_{19} + v w_{20} - sita5, sita21, sita22] - x_1) * w_{69} \\ & + (f_1[x_1 w_{21} + x_2 w_{22} + u w_{23} + v w_{24} - sita6, sita23, sita24] - x_2) * w_{70} \\ & + (f_2[x_1 w_{25} + x_2 w_{26} + u w_{27} + v w_{28} - sita7] - u) * w_{71} \\ & + (f_3[x_1 w_{29} + x_2 w_{30} + u w_{31} + v w_{32} - sita8] - v) * w_{72}\} \\ & \cdot h \stackrel{\int}{=} x_2 \end{aligned} \quad (7-2)$$

$$\begin{aligned}
& \{(f_1[x_1 w_{33} + x_2 w_{34} + u w_{35} + v w_{36} - sita9, sita25, sita26] - x_1) * w_{73} \\
& + (f_1[x_1 w_{37} + x_2 w_{38} + u w_{39} + v w_{40} - sita10, sita27, sita28] - x_2) * w_{74} \\
& + (f_2[x_1 w_{41} + x_2 w_{42} + u w_{43} + v w_{44} - sita11] - u) * w_{75} \\
& + (f_3[x_1 w_{45} + x_2 w_{46} + u w_{47} + v w_{48} - sita12] - v) * w_{76}\} \\
& \cdot h \stackrel{f}{=} u
\end{aligned} \tag{7-3}$$

$$\begin{aligned}
& \{(f_1[x_1 w_{49} + x_2 w_{50} + u w_{51} + v w_{52} - sita13, sita29, sita30] - x_1) * w_{77} \\
& + (f_1[x_1 w_{53} + x_2 w_{54} + u w_{55} + v w_{56} - sita14, sita31, sita32] - x_2) * w_{78} \\
& + (f_2[x_1 w_{57} + x_2 w_{58} + u w_{59} + v w_{60} - sita15] - u) * w_{79} \\
& + (f_3[x_1 w_{61} + x_2 w_{62} + u w_{63} + v w_{64} - sita16] - v) * w_{80}\} \\
& \cdot h \stackrel{f}{=} v
\end{aligned} \tag{7-4}$$

将memory计算后的40个参数分别输入后:

$$\begin{aligned}
& \{(f_1[\{x_1 \cdot (-|w_{011} - 1|) + x_2 \cdot (-w_{012}) + u \cdot j_1 + v \cdot (-a_1) - q_1\}, e_1, e_2] - x_1) \cdot (|w_{011} + 1|) \\
& + (f_1[\{x_1 \cdot (-w_{021}) + x_2 \cdot (-|w_{022} - 1|) + u \cdot j_2 + v \cdot (-a_2) - q_2\}, e_3, e_4] - x_2) \cdot w_{021} \\
& + (f_2[x_1 \cdot (-j_1) + x_2 \cdot (-j_2) + u \cdot 1 + v \cdot 0 - (-d)] - u) \cdot j_1 \\
& + (f_3[x_1 \cdot a_1 + x_2 \cdot a_2 + u \cdot 0 + v \cdot 1 - b] - v) \cdot (-a_1)\} \\
& \cdot h \stackrel{f}{=} x_1
\end{aligned} \tag{8-1}$$

$$\begin{aligned}
& \{(f_1[\{x_1 \cdot (-|w_{011} - 1|) + x_2 \cdot (-w_{012}) + u \cdot j_1 + v \cdot (-a_1) - q_1\}, e_1, e_2] - x_1) \cdot w_{012} \\
& + (f_1[\{x_1 \cdot (-w_{021}) + x_2 \cdot (-|w_{022} - 1|) + u \cdot j_2 + v \cdot (-a_2) - q_2\}, e_3, e_4] - x_2) \cdot (|w_{022} + 1|) \\
& + (f_2[x_1 \cdot (-j_1) + x_2 \cdot (-j_2) + u \cdot 1 + v \cdot 0 - (-d)] - u) \cdot j_2 \\
& + (f_3[x_1 \cdot a_1 + x_2 \cdot a_2 + u \cdot 0 + v \cdot 1 - b] - v) \cdot (-a_2)\} \\
& \cdot h \stackrel{f}{=} x_2
\end{aligned} \tag{8-2}$$

$$\begin{aligned}
& \{(f_1[\{x_1 \cdot (-|w_{011} - 1|) + x_2 \cdot (-w_{012}) + u \cdot j_1 + v \cdot (-a_1) - q_1\}, e_1, e_2] - x_1) \cdot (-j_1) \\
& + (f_1[\{x_1 \cdot (-w_{021}) + x_2 \cdot (-|w_{022} - 1|) + u \cdot j_2 + v \cdot (-a_2) - q_2\}, e_3, e_4] - x_2) \cdot (-j_2) \\
& + (f_2[x_1 \cdot (-j_1) + x_2 \cdot (-j_2) + u \cdot 1 + v \cdot 0 - (-d)] - u) \cdot 1 \\
& + (f_3[x_1 \cdot a_1 + x_2 \cdot a_2 + u \cdot 0 + v \cdot 1 - b] - v) \cdot 0\} \\
& \cdot h \stackrel{f}{=} u
\end{aligned} \tag{8-3}$$

$$\begin{aligned}
& \{(f_1[\{x_1 \cdot (-|w_{011} - 1|) + x_2 \cdot (-w_{012}) + u \cdot j_1 + v \cdot (-a_1) - q_1\}, e_1, e_2] - x_1) \cdot a_1 \\
& + (f_1[\{x_1 \cdot (-w_{021}) + x_2 \cdot (-|w_{022} - 1|) + u \cdot j_2 + v \cdot (-a_2) - q_2\}, e_3, e_4] - x_2) \cdot a_2 \\
& + (f_2[x_1 \cdot (-j_1) + x_2 \cdot (-j_2) + u \cdot 1 + v \cdot 0 - (-d)] - u) \cdot 0 \\
& + (f_3[x_1 \cdot a_1 + x_2 \cdot a_2 + u \cdot 0 + v \cdot 1 - b] - v) \cdot 1\} \\
& \cdot h \stackrel{f}{=} v
\end{aligned} \tag{8-4}$$

化简后:

$$\begin{aligned}
& \{(P_\Omega[(1 - w_{11})x_1 + (-w_{12})x_2 + j_1 u + (-a_1)v - q_1] - x_1) \cdot (w_{11} + 1) \\
& + (P_\Omega[(-w_{21})x_1 + (1 - w_{22})x_2 + j_2 u + (-a_2)v - q_2] - x_2) \cdot w_{21} \\
& + (P_\Omega[(-j_1)x_1 + (-j_2)x_2 + u + d] - u) \cdot j_1 \\
& + (P_\Omega[a_1 x_1 + a_2 x_2 + v - b] - v) \cdot (-a_1)\} \\
& \cdot \gamma = \dot{x}_1 \stackrel{f}{=} x_1
\end{aligned} \tag{9-1}$$

$$\begin{aligned}
& \{(P_\Omega[(1 - w_{11})x_1 + (-w_{12})x_2 + j_1 u + (-a_1)v - q_1] - x_1) \cdot w_{12} \\
& + (P_\Omega[(-w_{21})x_1 + (1 - w_{22})x_2 + j_2 u + (-a_2)v - q_2] - x_2) \cdot (w_{022} + 1) \\
& + (P_\Omega[(-j_1)x_1 + (-j_2)x_2 + u + d] - u) \cdot j_2 \\
& + (P_\Omega[a_1 x_1 + a_2 x_2 + v - b] - v) \cdot (-a_2)\} \\
& \cdot \gamma = \dot{x}_2 \stackrel{f}{=} x_2
\end{aligned} \tag{9-2}$$

$$\begin{aligned} & \{(P_{\Omega}[\{(1-w_{11})x_1 + (-w_{012})x_2 + j_1u + (-a_1)v - q_1\}] - x_1) \cdot (-j_1) \\ & + (P_{\Omega}[\{(-w_{21})x_1 + (1-w_{22})x_2 + j_2u + (-a_2)v - q_2\}] - x_2) \cdot (-j_2) \\ & + (P_{\Omega}[(-j_1)x_1 + (-j_2)x_2 + u + d] - u)\} \\ & \cdot \gamma = \dot{u} \stackrel{f}{=} u \end{aligned} \quad (9-3)$$

$$\begin{aligned} & \{(P_{\Omega}[\{(1-w_{11})x_1 + (-w_{12})x_2 + j_1u + (-a_1)v - q_1\}] - x_1) \cdot a_1 \\ & + (P_{\Omega}[\{(-w_{21})x_1 + (1-w_{22})x_2 + j_2u + (-a_2)v - q_2\}] - x_2) \cdot a_2 \\ & + (P_{\Omega}[a_1x_1 + a_2x_2 + v - b] - v)\} \\ & \cdot \gamma = \dot{v} \stackrel{f}{=} v \end{aligned} \quad (9-4)$$

经比较，（9）式即为（6）式，即本网络很好的实现了设计。

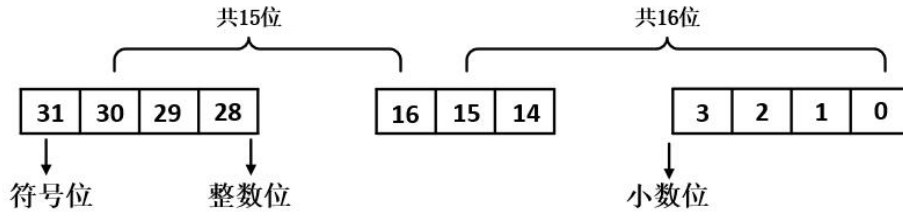
三、实例求解并验证

通过实例求解，将用上文实现的基于LVI的原-对偶神经网络进行验证，引入（1）式问题，并作如下设定：

$$W = \begin{bmatrix} \omega_{11} & \omega_{12} \\ \omega_{21} & \omega_{22} \end{bmatrix} = \begin{bmatrix} 2 & 2 \\ 2 & 6 \end{bmatrix}, \quad q = [q_1 \quad q_2] = [1 \quad 1], \quad J = [j_1 \quad j_2] = [1 \quad 1], \quad d = d = 1, \quad (10)$$

$$a = [a_1 \quad a_2] = [3 \quad 4], \quad b = b = 5, \quad \varepsilon^- = \begin{bmatrix} \varepsilon_1^- \\ \varepsilon_2^- \end{bmatrix} = \begin{bmatrix} -6 \\ -6 \end{bmatrix}, \quad \varepsilon^+ = \begin{bmatrix} \varepsilon_1^+ \\ \varepsilon_2^+ \end{bmatrix} = \begin{bmatrix} 6 \\ 6 \end{bmatrix}$$

把各参数表示为32位定点数。最高位（第31位）为符号位，0表示正数，1表示负数；第30-16位（共15位）为整数位，第15-0（共16位）为小数位，如下图。并设定系统的定点数仿真步长 $\gamma = 1 \times 2^{-10}$



将（10）式输入到（1）式中，可得：

$$\begin{aligned} & \text{minimize} \quad x_1^2 + 3x_2^2 + 2x_1x_2 + x_1 + x_2; \\ & \text{subject to} \quad x_1 + x_2 = 1, 3x_1 + x_2 \leq 5, -6 \leq x \leq 6 \end{aligned} \quad (11)$$

将上式输入到matlab中尝试求解，代码如下：

```
>> clc
>> clear
>> w = [2,2;2,6];
>> q = [1;1];
>> J = [1,1];
>> d = 1;
>> A = [3,4];
>> b = 5;
>> lb = [-6;-6];
>> ub = [6;6];
>> [x,fval,exitflag,output,lambda]=quadprog(w,q,A,b,J,d,lb,ub)
```

结果如下：

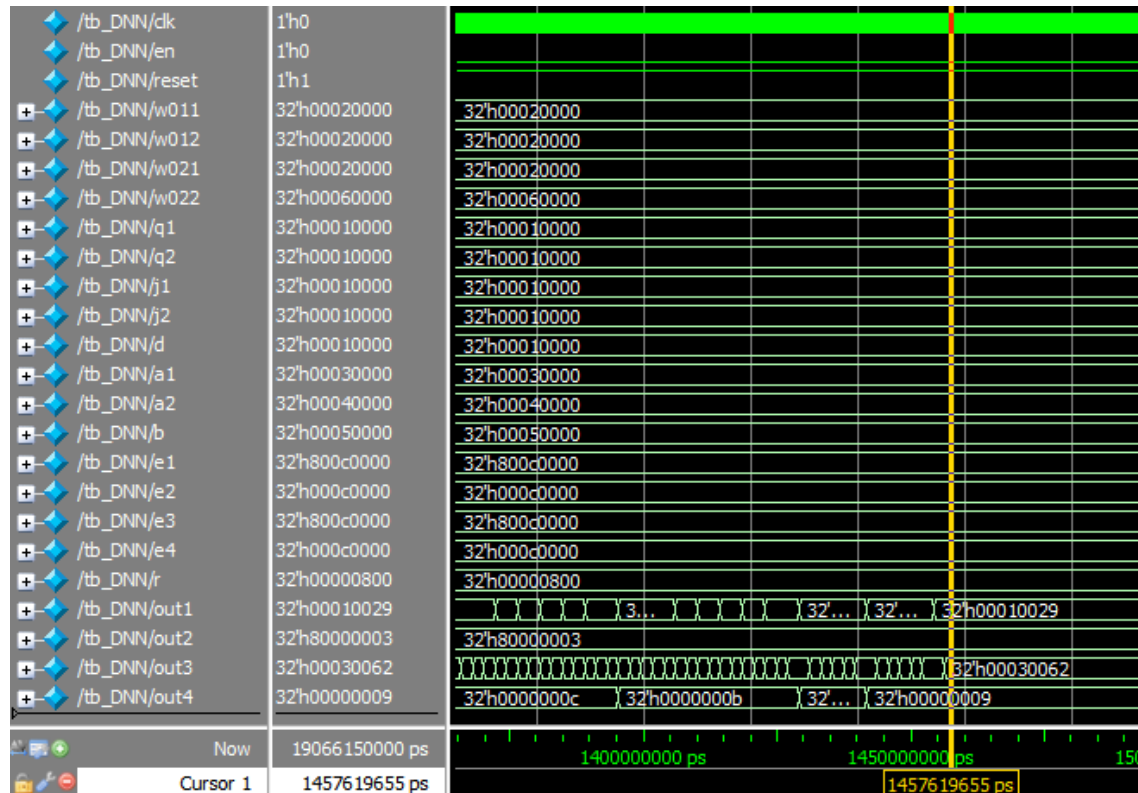
Minimum found that satisfies the constraints.

Optimization completed because the objective function is non-decreasing in feasible directions, to within the value of the optimality tolerance, and constraints are satisfied to within the value of the constraint tolerance.

x =

```
1.0000
0.0000
```

比较DNN模块在modelsim下的仿真结果：



由图： $x_1 = out1 = 32'h0001_0029 \approx 1.0006$

$x_2 = out2 = 32'h8000_0003 \approx -0.00004$

结论：仿真结果与matlab计算结果相比，很好的证明了本次网络设计的可行性和准确性。

四、复现工作中遇到的一些问题和解决方法（Q&A）

Q1：激活函数模块（function1）仿真结果有误

A1：尝试用流水的方法将其重写，仿真并验证得正确结果

Q2：四输入加法器模块（note_acc）modelsim仿真过程会出现warning，即仿真初始逻辑状态不定的情况

A2：每个模块的输入输出都要定义一个初始状态

Q3：存储模块（memory）仿真末端出现fatal error

A3：是由于tb文件中测试地址码数据超过7位数组导致，整体模块实现中，地址模块（addr_gen）输出地址码控制在7位数以内，故可以忽略此error

五、还有一些问题尚未解决可以着手改善（Q）

Q1：基于定点数的神经网络的FPGA实现，运算精度会受影响，考虑基于浮点数的神经网络，需改变加法器等模块的计算方法。

Q2：该论文仅进行了功能仿真，还需要考虑器件延时以及布线延时，即需要进一步进行时序仿真。这点可以在addr_gen以及state_ctrl模块中增长每个步骤之间的时延。

Q3：时序仿真之后即可将代码烧录入板子中。可考虑利用单片机将初始状态的数据并行输入FPGA的I/O口中。

Q4：目前市面上的FPGA上存储资源十分有限，故对于多维神经网络基础参数的存储

六、阅读的一些文献和博客

[1]Zhang Y, Li X, Zhang Z, et al. An LVI-based numerical algorithm for solving quadratic programming problems, *Oper. Res. Trans.* 16 (2012), no. 1, 21–30.

[2]Zhang Y, Ma W, Li X, et al. MATLAB Simulink modeling and simulation of LVI-based primal–dual neural network for solving linear and quadratic programs, *Neurocomputing*, Volume 72, Issues 7–9, 2009, Pages 1679–1687, ISSN 0925-2312,

[3]Zhang Y. On the LVI-based primal-dual neural network for solving online linear and quadratic programming problems, *American Control Conference*, 2005. Proceedings of the 2005. IEEE, 2005.

[4]Zhang Y , Cai B , Zhang L , et al. Bi-criteria Velocity Minimization of Robot Manipulators Using a Linear Variational Inequalities-Based Primal-Dual Neural Network and PUMA560 Example, Advanced Robotics, 2008, 22(13-14):1479-1496.

[5]<https://github.com/ljpzzz/machinelearning>

[6]<https://github.com/josephmisiti/awesome-machine-learning>

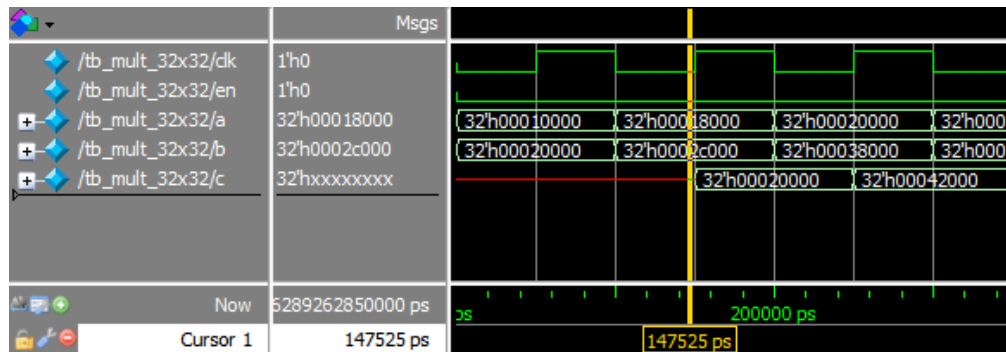
[7]<https://blog.csdn.net/cxk207017/article/details/90736697>

[8]<https://www.mathworks.cn/help/optim/ug/quadprog.html?requestedDomain=cn>

附录：各子模块的仿真与波形分析

原论文在验证部分仅贴出波形图，并未对波形数据进行说明举证，这里做一些补充。

1.乘法器模块 (mult_32x32)

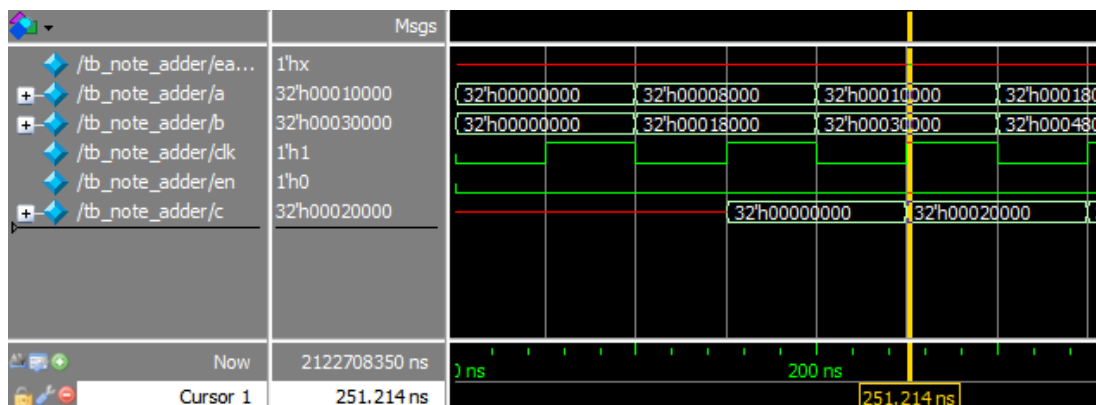


输入参数: $a = 32'h0001_0000 = 1; b = 32'h0002_0000 = 2$

一周期后: $c = 32'h0002_0000 = 2 = 1 \times 2 = a \times b$

即该模块验证完毕。

2.加法器模块 (note_adder)



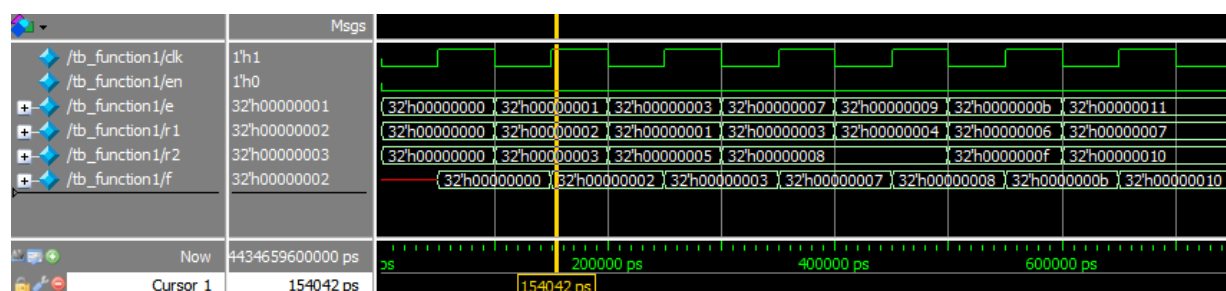
输入参数: $a = 32'h0000_8000 = 0.5; b = 32'h0001_8000 = 1.5$

一周期后: $c = 32'h0002_0000 = 2 = 0.5 + 1.5 = a + b$

即该模块验证完毕。

3.激活函数模块

a.function1



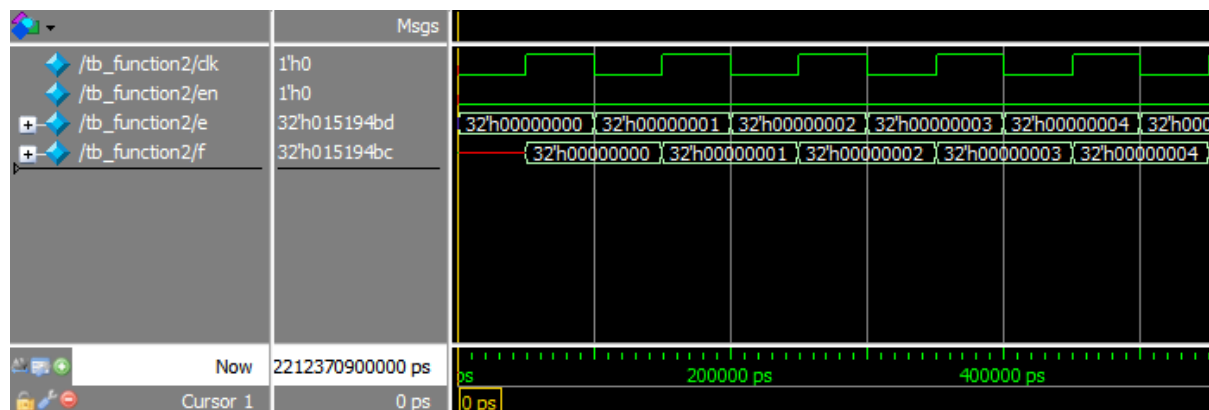
输入参数: $e = [0; 1; 3; 7; 9; 11; 17]$

边界参数: $r_1 = [0; 2; 1; 3; 4; 6; 7]; r_2 = [0; 3; 5; 8; 8; 15; 16]$

输出参数: $f = [0; 2; 3; 7; 8; 11; 16]$

即验证该function1函数模块的特性曲线为:

b.fuction2

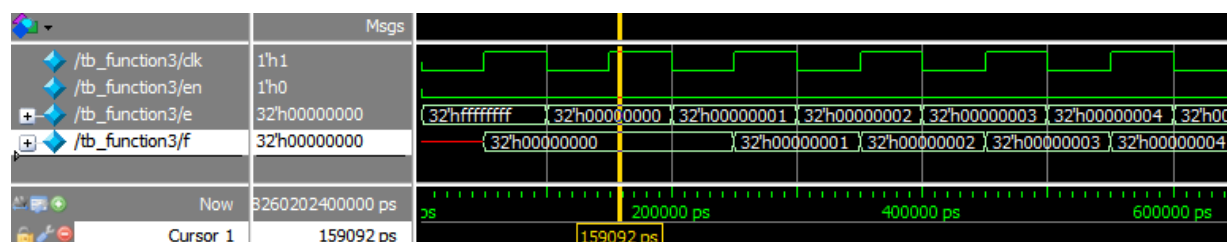


输入参数: $e = [0; 1; 2; 3; 4]$

输出参数: $f = [0; 1; 2; 3; 4]$

即验证该function2函数模块的特性曲线为:

c.function3

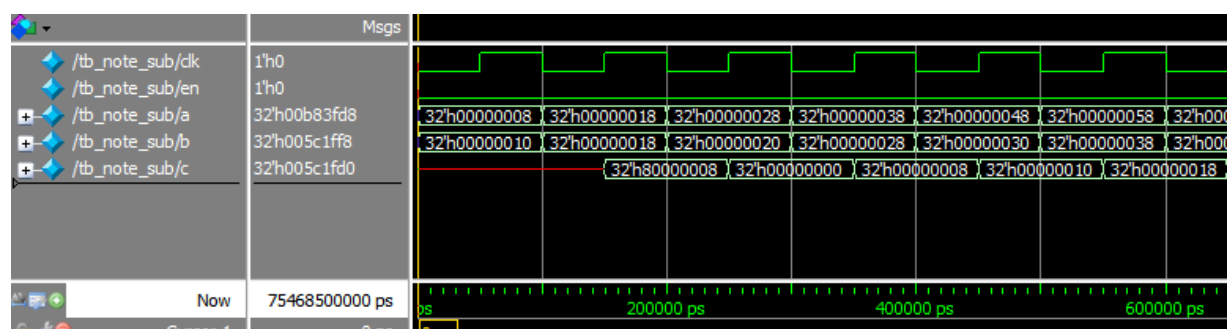


输入参数: $e = [-1; 0; 1; 2; 3; 4]$

输出参数: $f = [0; 0; 1; 2; 3; 4]$

即验证该function3函数模块的特性曲线为:

4.减法器模块 (note_sub)

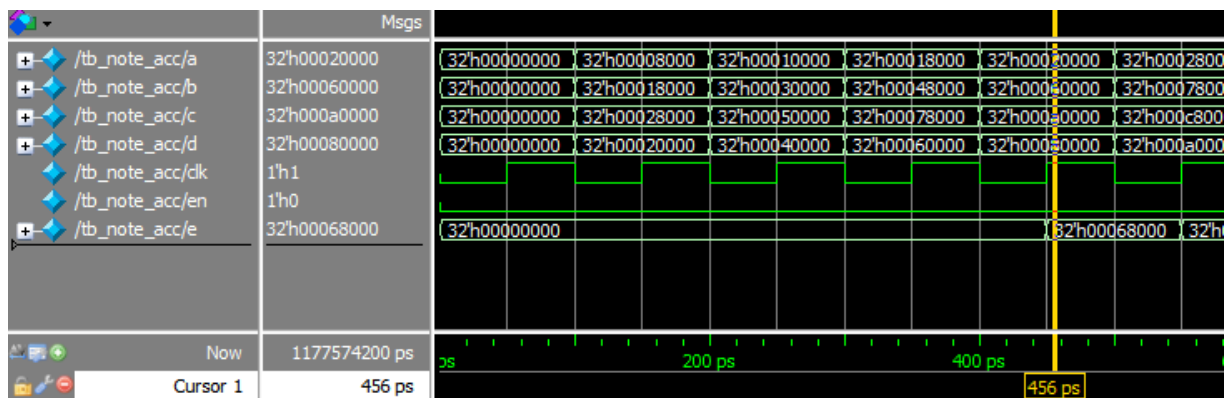


输入参数: $a = 32'h0000_0008 = 32'd8; b = 32'h0000_0010 = 32'd16$

输出参数: $c = 32'h8000_0008 = 32'd - 8 = 32'd8 - 32'd16 = a - b$

即该模块验证完毕

5.四输入累加器模块 (note_acc)



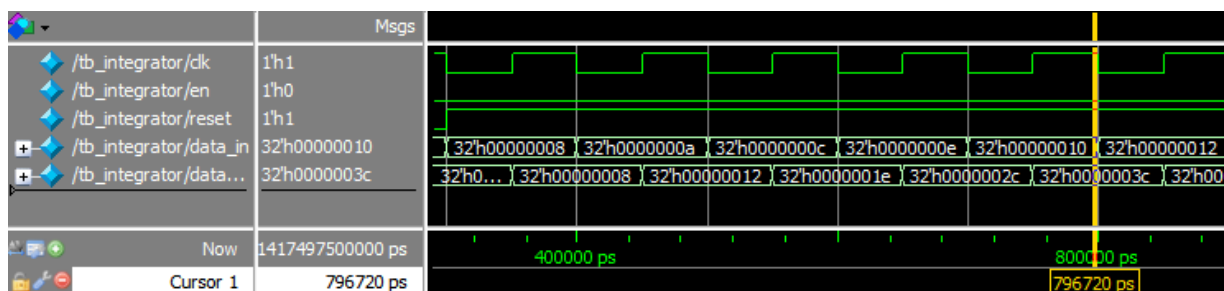
输入参数: $a = 32'h0000_8000 = 0.5; b = 32'h0001_8000 = 1.5$

$c = 32'h0002_8000 = 2.5; d = 32'h0002_0000 = 2$

输出参数: $e = 32'h0006_8000 = 6.5$

即该模块验证完毕

6. 积分器模块 (Integrator)

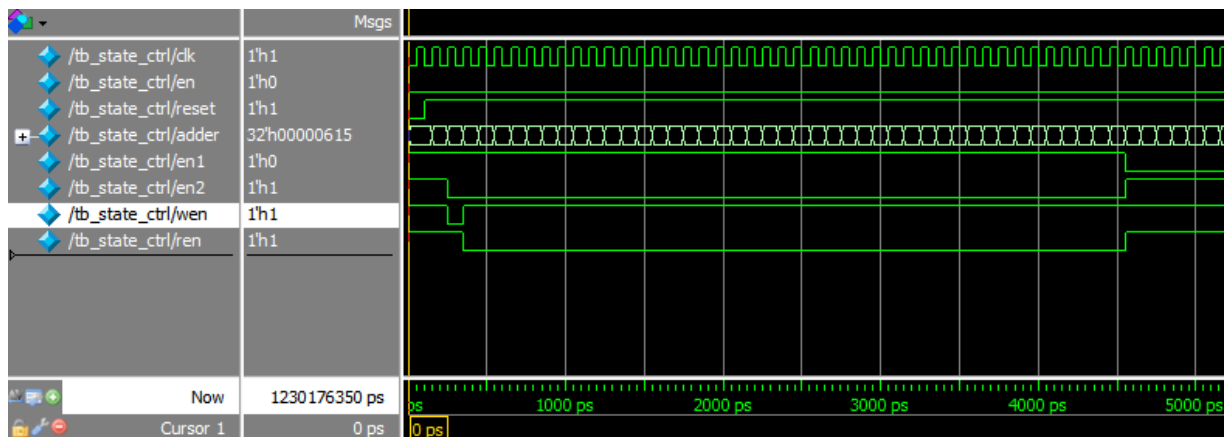


输入参数: $data_in = [8, 10, 12, 14, 16, 18]$

输出参数: $data_out = [8, 18, 30, 44, 60, 78]$

即该模块验证完毕

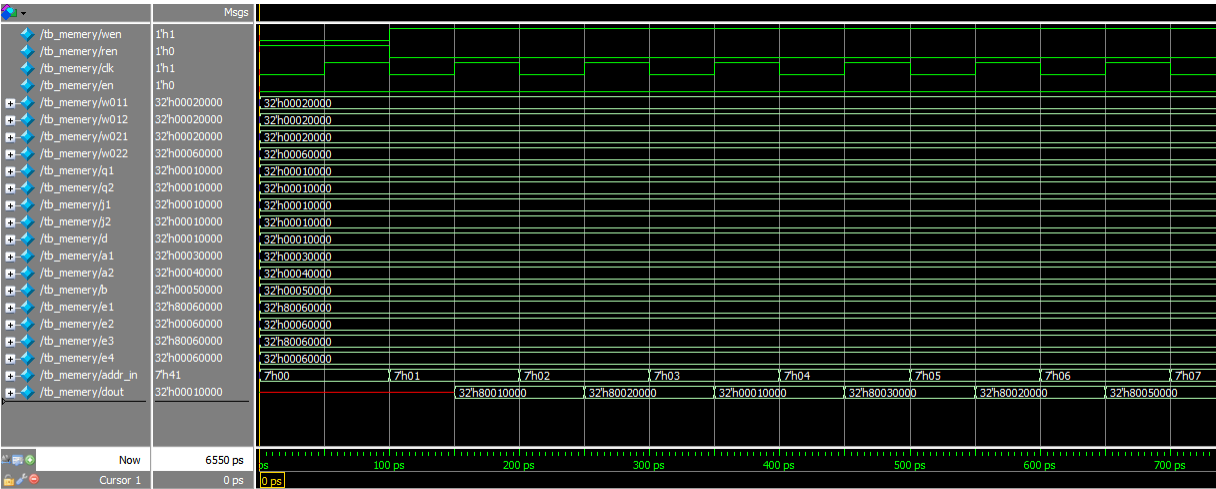
7. 状态控制模块 (state_ctrl)



由图: (en1,en2,wen,ren) 第一个周期为4'b1111, 第三个周期为4'b1001, 第四个周期为4'b1010, 第46个周期为4'b0111, 即实现了初始状态到写状态到读状态再到计算状态的转换。

即该模块验证完毕

8. 存储模块 (memory)



输入地址码 $addr_i n$ 由0增加到39，即实现了 $dout$ 依次输出40个基础参数。

将实例中的参数输入模块中，可得：

$dout = [-1; -2; 1; -3; -2; -5; 1; -4; -1; -1; 1; 0; 3; 4; 0; 1; 1; -1; 5; -6; 6; -6; 6; 3; 2; 1; -3; 2; 7; 1; -4; -1; -1; 1; 0; 3; 4; 0; 1]$

可手算验证这些参数的正确性。